

Выводы

Предложенная методика вычисления моментов инерции составляющих систему масс в единой системе координат позволяет представить математическое описание движения объекта в виде системы уравнений, что повышает точность математического моделирования. Использование кинематических характеристик подвески дает возможность избежать сложного математического описания работы ее направляющих элементов.

Приложение 1.

Обозначения и индексация переменных, входящих в уравнения:

I_x, I_y, I_z – моменты инерции в первоначальной системе координат;

$I_{x'}, I_{y'}, I_{z'}$ – моменты инерции в новой системе координат;

x', y', z' – соответствующие смещения осей новой системы координат относительно первоначальной;

P_{xy}, P_{yz}, P_{xz} – произведения инерции в первоначальной системе координат;

$P_{x'y'}, P_{y'z'}, P_{x'z'}$ – произведения инерции в новой системе координат;

T – кинетическая энергия системы;

U – потенциальная энергия системы;

R – диссипативная функция Релея;

Q_i – обобщенная сила;

q_i – обобщенная координата;

\dot{q}_i – обобщенная скорость;

I_{x0}, I_{y0}, I_{z0} и $P_{xy0}, P_{xz0}, P_{yz0}$ – моменты инерции и произведения инерции подрессоренной массы относительно осей x, y, z ;

x_0, y_0, z_0 – координаты центра подрессоренной массы;

$V_x, V_y, V_z, \dot{\rho}, \dot{r}, \dot{\psi}$ – линейные и угловые скорости по соответствующим осям координат;

q_i – возможное перемещение подрессоренной массы;

q'_i – возможное перемещение неподрессоренной массы;

j – номер неподрессоренной массы;

P_w – сила аэродинамического сопротивления;

R_{ij}, R_{nj}, R_{zj} – продольная (боковая, вертикальная) реакция j -го колеса;

F_{xj} – эквивалентный силовой фактор, вводимый при разрыве подвески, действующий в направлении соответствующей оси;

G_a – вес автомобиля;

M_a – обозначение центра масс автомобиля;

M_{kj} – крутящий момент j -го колеса;

$M_{\vartheta j}$ – момент сопротивления повороту j -го колеса;

M_{cpi} – момент сопротивления развалу j -го колеса.

Математическая модель качения эластичного колеса по деформируемому грунту

к.т.н., с.н.с. Чистов М.П., Наумов А.Н.
МГТУ «МАМИ», 21 НИИИ АТ МО РФ

Статья посвящена описанию взаимодействия эластичного колеса с деформируемым грунтом. В приведенной математической модели сделан ряд допущений, позво-

ляющий значительно упростить соответствующие инженерные расчеты.

В общем случае взаимодействие колеса с полотном пути можно разделить на 3 части: механика поверхности движения, механика колеса и шины, механика взаимодействия колеса с дорожно-грунтовым основанием. Данная статья посвящена краткому описанию взаимодействия эластичного колеса с деформируемой поверхностью движения и получению основных формул, характеризующих этот процесс.

В результате взаимодействия колеса с поверхностью движения образуется соответствующая зона контакта, представляющая собой пространственную поверхность. С целью упрощения задачи рассмотрения процессов взаимодействия колеса с поверхностью движения предполагается, что контактные напряжения по ширине контакта постоянны. Таким образом, задача переходит из трехмерного пространства в двухмерное, т.е. от рассмотрения контактной поверхности, характеризуемой тремя координатами, переходят к рассмотрению контактной двухмерной линии.

Учитывая, что параметры грунта крайне нестабильны и могут изменяться в значительных диапазонах в течение дня, с целью снижения трудоемкости инженерных расчетов целесообразно использовать упрощенную форму контактной линии взаимодействия колеса с грунтом.

В математической модели качения одиночного эластичного колеса по деформируемому грунту, разработанной М.П. Чистовым совместно со специалистами 21 НИИИ АТ МО РФ [1], были приняты следующие допущения:

рассматриваемое равномерное качение по ровному горизонтальному участку грунта со скоростью около 1 м/сек.;

нормальное напряжение или давление в контакте колеса с грунтом определяется законами механики грунтов через глубину погружения элементов беговой дорожки колеса и распределяется равномерно по всей ширине контакта беговой дорожки;

положение и величина плоской зоны контакта определяется хордой экваториальной окружности шины с высотой сегмента, равной ее радиальному прогибу, а нормальное давление по всей площади этой зоны принимается равномерным;

криволинейная зона располагается от входа беговой дорожки в контакт с грунтом до плоской зоны и принимается цилиндрической формы со свободным радиусом колеса r ;

изменение (увеличение) ширины шины в контакте с грунтом при ее прогибе вследствие незначительного влияния этого изменения на глубину погружения колеса в грунт для современных шин регулируемого давления с протектором высокой проходимости не учитывается;

увеличение глубины образуемой колеи при появлении горизонтальных сил (в зависимости от режима качения) определяется в функции поправки на буксование колеса;

расстояние от поверхности недеформируемого грунта до плоской зоны постоянна (глубина погружения колеса при качении) соответствует глубине образуемой колеи.

Схема качения эластичного колеса по деформируемому грунту представлена на рис. 1, где: H – глубина колеи, $z_{ш}$ – прогиб шины, B_k – ширина беговой дорожки колеса.

Криволинейная зона контактной линии располагается от входа беговой дорожки в контакт с поверхностью движения и принимается цилиндрической формы со свободным радиусом колеса r .

Расстояние от поверхности недеформируемого грунта до плоской зоны контакта равно глубине образуемой колеи H .

По теореме Пифагора длина плоской части контактной линии:

$$l_h = 2\sqrt{2rz_{ш} - z_{ш}^2}. \quad (1)$$

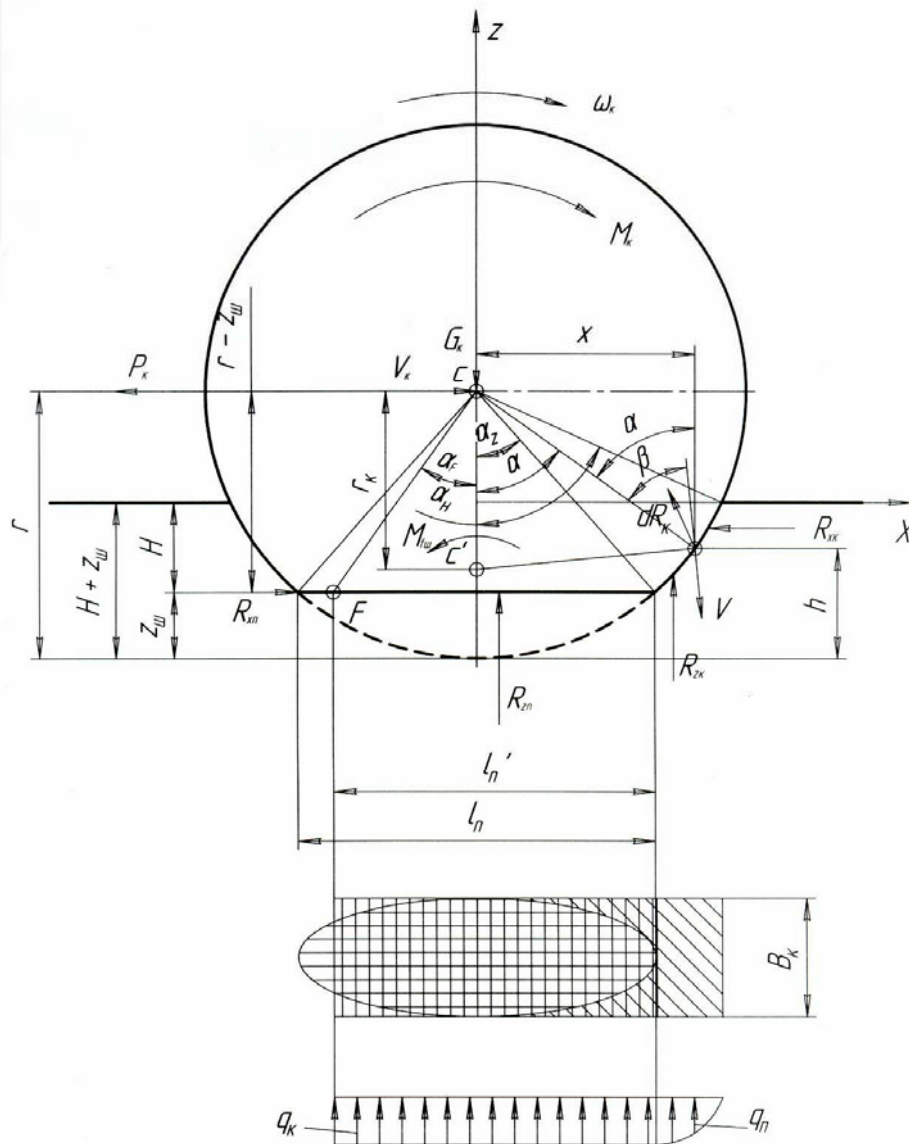


Рис. 1. Расчетная схема движения эластичного колеса по деформируемой поверхности движения при $r_k \leq r_{k0}$

Исходная зависимость, уточняющая общеизвестное уравнение М.Н.Летошнева по определению вертикального давления в контакте колеса с грунтом через коэффициент k_q снижения нормального удельного сопротивления грунта вдавливания на глубину H_p от скольжения, выглядит следующим образом:

$$q = 10^{2\mu} k_q p_2 \left(\frac{H + z_{ui} - h}{H_p} \right)^\mu, \quad (2)$$

где: p_2 – удельное сопротивление грунта смятию колесом на глубину H_p ;

μ – степенной коэффициент изменения указанного сопротивления по глубине вдавливания;

$H_p = 0,01$ м – глубина погружения штампа, определяющая удельное сопротивление грунта смятию p_2 .

Из анализа результатов экспериментальных исследований качения колесных движителей по деформируемым грунтам для указанного поправочного коэффициента предлагается эмпирическое выражение:

$$k_q = 1 - th(0,8s'_\sigma). \quad (3)$$

$$\text{При } s'_\delta > 0 (r_\kappa < r_{\kappa 0}) \quad s'_\delta = s_\delta = \frac{r_{\kappa 0} - r_\kappa}{r_{\kappa 0}} \quad (4)$$

$$\text{При } s'_\delta < 0 (r_\kappa > r_{\kappa 0}) \quad s'_\delta = \frac{r_\kappa - r_{\kappa 0}}{r_\kappa} \quad (5)$$

В формулах (4) и (5) $r_{\kappa 0}$ - радиус качения без буксования, r_κ - радиус качения в текущем режиме.

Радиус качения эластичного колеса без буксования:

$$r_{\kappa 0} = \frac{\sqrt{2r \cdot z_{uu} - z_{uu}^2}}{\arcsin \frac{\sqrt{2r \cdot z_{uu} - z_{uu}^2}}{r}} \quad (6)$$

С учетом принятой расчетной схемы (рис. 1) и допущениями вертикальная реакция в криволинейной части контактной линии

$$R_{z\kappa} = \int_{z_{uu}}^{H+z_{uu}} dR_{z\kappa} = \int_{z_{uu}}^{H+z_{uu}} q B_\kappa dx \quad (7)$$

В плоской зоне $q_n = const$ и $R_{zn} = q_n \cdot F_n$, где F_n - площадь плоской зоны контакта.

Условие равновесия вертикальных сил, действующих на колесо:

$$G_\kappa = R_z, \quad R_z = R_{z\kappa} + R_{zn} \quad (8)$$

$$R_{z\kappa} = 10^{2\mu} k_q p_\rho B_\kappa \left[\int_{z_{uu}}^{H+z_{uu}} \left(\frac{H+z_{uu}-h}{H_p} \right)^\mu \frac{r-h}{\sqrt{2rh-h^2}} dh \right], \quad (9)$$

$$R_{zn} = 10^{2\mu} k_q p_\rho F_n \left(\frac{H}{H_p} \right)^\mu \quad (10)$$

С учетом выражений (9) и (10) уравнение (8) можно записать в виде:

$$G_\kappa - 10^{2\mu} k_q p_\rho \left[B_\kappa \int_{z_{uu}}^{H+z_{uu}} \left(\frac{H+z_{uu}-h}{H_p} \right)^\mu \frac{r-h}{\sqrt{2rh-h^2}} dh + \left(\frac{H}{H_p} \right)^\mu F_n \right] = 0 \quad (11)$$

Площадь плоской зоны контакта:

$$F_n = (2 - 0,215k_F) B_\kappa \sqrt{2rz_{uu} - z_{uu}^2}, \quad (12)$$

где k_F - поправочный коэффициент площади отпечатка шин, который может быть выражен зависимостью:

$$k_F = \frac{r - 0,5d}{2r_{np}}, \quad (13)$$

где: d - посадочный диаметр шины,

r_{np} - радиус кривизны профиля беговой дорожки шины.

В полученном уравнении (11), если задаваться пробуксовкой s_δ , остаются два неизвестных: H и z_{uu} .

Для их определения необходимо составить второе уравнение, которое можно получить из выражения вертикальной реакции в плоской зоне и радиального прогиба z_{uu} :

$$z_{uu} = \frac{R_{zn}}{c_{uu}}, \quad (14)$$

$$c_{uu} z_{uu} - 10^{2\mu} k_q p_\rho \left(\frac{H}{H_p} \right)^\mu F_n = 0 \quad (15)$$

Значения текущей радиальной жесткости шин в функции давления воздуха p_6 [5]:

$$c_{uu} = K_1 \cdot th[K_2(K_3 + p_6)], \quad (16)$$

где: K_1, K_2, K_3 – коэффициенты уравнения регрессии,

p_6 – давление воздуха в шине.

Полученные уравнения (11) и (15) позволяют по вертикальной нагрузке на колесо определить глубину образуемой колеи H и прогиб шины z_{uu} с учетом влияния на них продольных сил (через пробуксовку колес) и давления воздуха в шинах. На базе указанных уравнений можно вывести формулы для определения продольных сил, а также крутящего момента и сопротивления качению колеса при его взаимодействии с грунтом.

Для нахождения продольных сил целесообразно воспользоваться известным из механики грунтов законом Кулона, который с уточнениями Я.С. Агейкина [2, 4] по коэффициентам насыщенности и очищаемости протектора, а также с учетом среза грунта торцевыми ребрами грунтозацепов выглядит следующим образом:

$$\tau_{\max} = [k_H k_{uu} + (1 - k_H) tg\varphi_0] \sigma + c_0 k_0 \left[(1 - k_H) + 2(1 - k_{HT}) \frac{F_T}{F_D} \right], \quad (17)$$

здесь: k_H, k_0 – коэффициенты насыщенности и очищаемости протектора,

k_{uu} – коэффициент трения материала шины о грунт,

φ_0 и c_0 – угол внутреннего трения и удельного сцепления грунта,

k_{HT} – коэффициент насыщенности протектора по торцу шины,

F_T и F_D – площади торца (бокового кольца шины) по высоте боковых ребер грунтозацепов и беговой дорожки шины в контакте с грунтом.

Для упрощения формул примем:

$$k_H k_{uu} + (1 - k_H) tg\varphi_0 = tg\psi, \quad (18)$$

$$c_0 k_0 \left[(1 - k_H) + 2(1 - k_{HT}) \frac{F_T}{F_D} \right] = k_c. \quad (19)$$

В уравнениях (17) и (19)

$$k_{HT} \approx \frac{l_{TT}}{l_\Gamma}, \quad (20)$$

$$F_T \approx 2\pi r h_{TT}, \quad F_D \approx 2\pi r B_\kappa, \quad (21)$$

где: h_{TT}, l_Γ и l_{TT} – высота грунтозацепов в торце, его шаг и ширина посередине высоты.

С учетом вышеизложенного формула (19) примет вид:

$$k_c = c_0 k_0 \left[(1 - k_H) + r \left(1 - \frac{l_{TT}}{l_\Gamma} \right) \frac{h_{TT}}{B_\kappa} \right]. \quad (22)$$

Таким образом, получена возможность определения максимального по сцеплению тангенциального напряжения τ_{\max} , с помощью которого через накопленный сдвиг и относительный сдвиг можно определить развиваемую колесом максимальную силу тяги. Однако как максимальное, так и текущее значение τ зависит от относительного сдвига X_{cd} элементов беговой дорожки, а при $X_{cd} = 0$ $\tau = 0$.

Для выражения текущих значений τ через закон Кулона и соответствующий сдвиг можно воспользоваться методом интерполяции сплайнами кривой $\tau(X_{cd})$. При этом использование кубических сплайнов позволяет получить максимальное приближение рассматриваемой функции к экспериментальной с обеспечением упомянутых выше условий. В общем виде эта функция выражена как

$$\tau = \sigma \operatorname{tg} \psi A(X_{cd}) + k_c B(X_{cd}), \quad (23)$$

$$A(X_{cd}) = \begin{cases} 0,4 \left(1 - \left| \frac{X_{cd}}{s_{\delta m}} \right| \right)^3 - 1,4 \left(1 - \left| \frac{X_{cd}}{s_{\delta m}} \right| \right)^2 + 1 & \text{при } X_{cd} < s_{\delta} \\ 1 & \text{при } s_{\delta m} \leq X_{cd} \leq 1 \end{cases}, \quad (24)$$

$$B(X_{cd}) = \begin{cases} A(X_{cd}) & \text{при } |X_{cd}| \leq |s_{\delta m}| \\ \frac{3(1 - |X_{cd}|)^2}{(1 - |X_{cd}|)^2} - \frac{2(1 - |X_{cd}|)^3}{(1 - |X_{cd}|)^3} & \text{при } s_{\delta m} \leq X_{cd} \leq 1. \\ 0 & \text{при } X_{cd} > 1 \end{cases} \quad (25)$$

К криволинейной зоне контакта $\sigma \equiv dR_r$ и $\tau \equiv dR_T$. Соотношение (23) примет вид:

$$dR_T = dR_r \operatorname{tg} \psi \cdot A(X_{cd}) + k_c B(X_{cd}) r B_{\kappa} d\alpha. \quad (26)$$

Учитывая, что $dR_{zk} = dR_r \cos \alpha + dR_T \sin \alpha$, получим выражение для определения элементарной радиальной составляющей:

$$dR_r = \frac{dR_{zk} - k_c B(X_{cd}) r B_{\kappa} \sin \alpha d\alpha}{\cos \alpha + \operatorname{tg} \psi \cdot \sin \alpha \cdot A(X_{cd})}. \quad (27)$$

$$\text{Тогда } dR_T = \frac{(dR_{zk} - k_c B(X_{cd}) r B_{\kappa} \sin \alpha d\alpha) \operatorname{tg} \psi \cdot A(X_{cd})}{\cos \alpha + \operatorname{tg} \psi \cdot \sin \alpha \cdot A(X_{cd})} + k_c B(X_{cd}) r B_{\kappa} d\alpha \quad (28)$$

Принимая во внимание, что $dR_{xk} = dR_T \cos \alpha - dR_r \sin \alpha$, получим:

$$dR_{xk} = \frac{(dR_{zk} - k_c B(X_{cd}) r B_{\kappa} \sin \alpha d\alpha) (\operatorname{tg} \psi \cdot \cos \alpha A(X_{cd}) - \sin \alpha)}{\cos \alpha + \operatorname{tg} \psi \cdot A(X_{cd})} + k_c B(X_{cd}) r B_{\kappa} \cos \alpha d\alpha. \quad (29)$$

В плоской зоне контакта в соответствии с принятыми допущениями и расчетной схемой нормальное давление в контакте:

$$\sigma = q_{zn} = 10^{2\mu} k_q p_z \left(\frac{H}{H_p} \right)^{\mu} = \frac{c_{uu} z_{uu}}{F_n} = \operatorname{const}. \quad (30)$$

Из уравнения (26)

$$dR_{xn} = [q_{zn} \operatorname{tg} \psi \cdot A(X_{cdn}) + k_c B(X_{cdn})] r B_{\kappa} d\alpha. \quad (31)$$

Из полученных уравнений можно получить суммарную продольную силу (реакцию) в контакте колеса с поверхностью движения:

$$P_{\kappa} = R_x = R_{xk} + R_{xn}. \quad (32)$$

При этом положительные значения суммарной продольной реакции R_x соответствуют развиваемой колесом при соответствующем буксовании силе тяги P_{κ} и отрицательные - толкающей силе.

Значения крутящего момента на колесе будут складываться из моментов от элементарных вертикальных сил dR_z с соответствующим им плечом по оси X в криволинейной M_{Rzk} и плоской M_{Rzn} зонах, от горизонтальных (продольных) элементарных сил dR_x с плечом по оси Z, а также момента сопротивления шин.

$$M_{\kappa} = M_{Rzk} + M_{Rzn} + M_{Rxx} + M_{Rxn} + M_{fu}. \quad (33)$$

Составляющие крутящего момента можно выразить следующим образом:

$$M_{Rzk} = r \int_{\alpha_z}^{\alpha_F} dR_{zk} \sin \alpha, \quad (34)$$

$$M_{Rxx} = r \int_{\alpha_z}^{\alpha_F} dR_{xx} \cos \alpha, \quad (35)$$

$$M_{Rxn} = R_{xn}(r - z_{uu}), \quad (36)$$

$$M_{Rzn} = \frac{c_{uu}z_{uu}}{F_n} \cdot \Delta F_n x_{\Delta F}, \quad (37)$$

$$M_{f_{uu}} = f_{uu} c_{uu} z_{uu} (r - z_{uu}). \quad (38)$$

В уравнении (38) f_{uu} и c_{uu} - коэффициенты сопротивления качению и радиальные жесткость с номинальным значением давления воздуха в шине,

$$x_{\Delta F} = \frac{1.785}{2} \sqrt{2rz_{uu} - z_{uu}^2}, \quad \Delta F_n = 0.215 \sqrt{2rz_{uu} - z_{uu}^2} B_k.$$

Полученное математическое описание процесса прямолинейного качения эластичного колеса по деформируемому грунту при известных нагрузочных и размерных параметрах колеса, показателях жесткостных характеристик и характеристик протектора его эластичной шины, а также механических параметрах грунта, позволяет расчетным путем определять все показатели этого качения, например, в функции буксования колеса.

Так, коэффициент сопротивления качению колеса можно получить по следующим формулам [3]:

$$P_{fk} = \frac{M_{k\alpha} - P_k \alpha \cdot r_k}{\alpha \cdot r_k} = \frac{M_k}{r_k} - P_k, \quad (39)$$

$$f_k = \frac{\frac{M_k}{r_k} - P_k}{R_z} = \frac{P_{fk}}{R_z} = \frac{P_{fz} + P_{fuu}}{R_z} = f_{zk} + f_{uu}. \quad (40)$$

Из выражений, описывающих качение одиночного колеса, можно вывести математическую модель движения автомобиля.

Экспериментальные исследования с определением показателей качения эластичного колеса по деформируемой поверхности движения, проведенные в 21 НИИИ АТ МО РФ, подтверждают корректность вышеуказанных выражений и свидетельствуют о возможности их использования при построении математической модели прямолинейного движения автомобиля.

Литература

1. ВЧ 63539 «Исследование путей повышения проходимости армейских многоцелевых автомобилей по деформируемым грунтам», отчет о НИР, 1997 г., инв. № 7869
2. Агейкин Я.С. Проходимость автомобилей. – М.: Машиностроение, 1981, 232 с.
3. Фалькевич Б.С. Теория автомобиля. – М.: Машиностроение, 1963, 239 с.
4. Барахтанов Л.В., Беляков В.В., Кравец В.Н. Проходимость автомобиля. – Н. Новгород, Нижегородский гос. техн. ун-т., 1996, 200 с.
5. Чистов М.П., Коваленко А.Н. Расчетное определение некоторых характеристик автомобильных шин. Рукопись депон. В НИИИавтопрома 14.12.84 № 1127 ап -84 ДЕП. 1984, 12с.

Технологическое решение проблемы эксплуатационного дисбаланса гибких роторов турбоагрегатов

к.т.н. Корнеев Н.В.
МГТУ «МАМИ»

В статье рассмотрены основные принципы и разработана новая технология вибростабилизации гибких роторов турбоагрегатов. Разработан и создан уникальный стенд для вибростабилизации. Приведены результаты экспериментальных исследований.

Стабильность геометрии ротора, т.е. неизменность его геометрии в процессе эксплуатации, существенно влияет на его эксплуатационный дисбаланс и определяется множеством факторов, среди которых важную роль играют внутренние напряжения в его конструкции